

УДК 536.3+536.42

Однофазная задача Стефана в селективно-поглощающей среде *

С.Д. Слепцов¹, Н.А. Рубцов¹, Н.А. Саввинова²

¹Институт теплофизики им. С.С. Кутателадзе СО РАН, Новосибирск

²Северо-Восточный Федеральный Университет, Якутск

E-mail: sleptsov@itp.nsc.ru

Методами численного моделирования проведено исследование теплового состояния полупрозрачной селективно-поглощающей среды при разных значениях оптических свойств границ и теплоотдачи с левой поверхности в приближении однофазной задачи Стефана. Проведен анализ полей температур и плотностей потоков результирующего излучения, а также теплового состояния левой границы и динамики сокращения слоя в процессе плавления. Выполнено сопоставление процессов фазового перехода в плоском слое селективной и серой поглощающей и излучающих средах в слое пластины и показано их принципиальное различие.

Ключевые слова: радиационно-кондуктивный теплообмен, задача Стефана, селективность, степень черноты, теплоотвод.

Введение

Учет селективности излучения в задачах радиационно-кондуктивного теплообмена с фазовым переходом в приближении задачи Стефана является важным этапом учета реальных условий протекания сложных тепловых процессов. С подобными задачами приходится сталкиваться как в области стекловарения, в технологиях роста полупрозрачных кристаллов, при решении проблем разработки эффективных методов тепловой защиты, так и в природных условиях при рассмотрении процессов таяния ледников и толщи льда в арктических озерах. В частности, представленная в работе модель плавления полупрозрачного слоя с серым покрытием при определенных граничных условиях моделирует процесс таяния льда арктического озера со снежным (серым) покрытием при солнечном облучении.

Работ, моделирующих двухфазные задачи с излучением, достаточно много. Выразительным примером подобных задач является экспериментальное и численное исследование плавления полупрозрачного материала [1], а также импульсный нагрев и плавление оксида алюминия лазерным излучением [2, 3]. Наиболее полно численные решения подобных задач рассмотрены в монографиях [4–6].

Строгий учет зависимости поглощательной способности объема среды от частоты излучения является сложной задачей. Для ее упрощения используют разные модели.

* Работа выполнена в рамках бюджетного проекта III.18.2.2 «Теплофизические свойства, фазовые превращения и кинетические процессы в рабочих средах и материалах для энергетических технологий».

Одной из самых простых и удобных является модель прямоугольных полос. В этом случае коэффициенты поглощения, а также другие величины, описывающие оптические свойства, предполагаются постоянными в пределах определенной частотной полосы $\Delta\nu$. Необходимая точность достигается за счет увеличения числа полос и выбора соответствующих значений оптических коэффициентов внутри спектрального интервала [4].

Однофазная задача Стефана [7, 8], будучи частным случаем двухфазной задачи, имеет кардинальные отличия от последней и в то же время оказывается более сложной. В численной реализации в этом случае приходится более тщательно учитывать не только тепловые и радиационные потоки, но и теплоотдачи на внешних сторонах поверхностей. Объем среды строго не фиксирован, движущийся фронт совпадает с положением одной из границ, претерпевающий фазовый переход первого рода. В такой постановке на первый план выходит обоснование граничных условий (с учетом модификаций [9] в рассматриваемых условиях серой поглощающей среды).

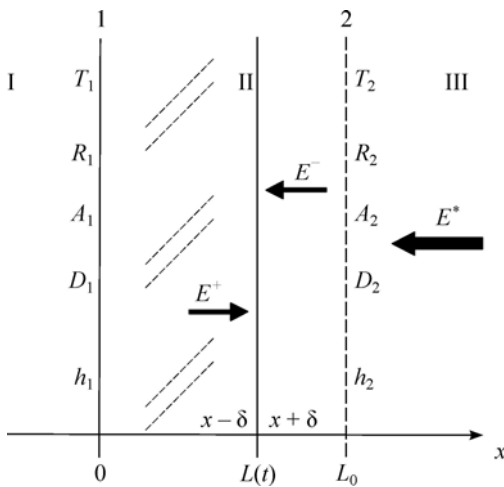
В настоящей работе рассматривается однофазная задача Стефана с селективно-поглощающей средой с прозрачными и полупрозрачными серыми границами, которая до настоящего времени не решалась.

Постановка задачи

На рис. 1 изображена геометрическая схема задачи, представляющая трехслойную систему, где полубесконечные слои I и III соответствуют внешним условиям с показателем преломления воздуха $n_0 = 1$ при соответствующих температурах воздуха T_1 и T_2 , а слой II соответствует исследуемой твердой полупрозрачной среде с коэффициентом преломления $n = 1,5$.

В работе исследуются нагрев и последующее плавление бесконечного плоскопараллельного слоя II селективно-поглощающей полупрозрачной среды с коэффициентом объемного поглощения излучения α_ν и теплопроводностью λ . Границы плоского образца частично поглощают, отражают и пропускают излучение таким образом, что $A_i + R_i + D_i = 1$, $i = 1, 2$, где A_i , R_i , D_i — значения полусферических коэффициентов поглощения, отражения и пропускания соответственно. При этом предполагается справедливость закона Кирхгофа: $A_i = \varepsilon_i$, где ε_i — степень черноты границ.

Решение краевой задачи включает в себя два этапа. Первый этап сводится к рассмотрению нестационарного радиационно-кондуктивного теплообмена в процессе нагрева селективного полупрозрачного образца с плоскопараллельными серыми границами излучением и конвекцией. На втором этапе при достижении правой границей образца температуры плавления $T(L(t), t) = T_f$ рассматривается непосредственно задача



Стефана. Образующаяся при этом на границе жидкая фаза уносится конвективным потоком. Это предположение связано с допущением наличия теплообмена на правой границе, испытывающей фазовый переход, и обосновано в работе [10] введением определения уносимой жидкой фазы как нуль-фазы. Такой подход позволяет оставаться в рамках однофазной задачи Стефана при наличии неравновесности, вызванной теплообменом на внешней стороне фронта фазового перехода.

Рис. 1. Геометрическая схема трехслойной системы.

Тем самым исключаются из рассмотрения нефизичные классические условия [11] отсутствия теплообмена на правой границе (изотермическая область, примыкающая к правой границе с внешней стороны при температуре фазового перехода). Появление жидкого слоя связано с рассмотрением двухфазных задач Стефана как с учетом [4], так и без учета [11] излучения.

Положение границы раздела фаз $L(t)$ определяется из решения краевой задачи, которое сводится к определению полей температур и плотностей потоков в слое твердой фазы переменной (от $x = 0$ до $x = L(t)$) толщины (рис. 1).

Уравнение сохранения энергии имеет вид:

$$c\rho \frac{\partial T(x,t)}{\partial t} = \frac{\partial}{\partial x} \left(\lambda \frac{\partial T(x,t)}{\partial x} - E_v(x,t) \right). \quad (1)$$

Здесь $E_v(x, t)$ — плотность потока результирующего излучения в сечении x в момент времени t .

Граничные условия уравнения энергии (1) в общем случае для произвольного момента времени $t \geq 0$ записываются следующим образом:

$$\begin{aligned} -\lambda \frac{\partial T}{\partial x} \Big|_{x+\delta} + h_1 (T - T_1) \Big|_{x-\delta} + |E_{1,v}| &= 0, \quad x = 0, \\ \lambda \frac{\partial T}{\partial x} \Big|_{x-\delta} + h_2 (T_2 - T) \Big|_{x+\delta} - |E_{2,v}| &= \rho\gamma \frac{\partial L}{\partial t}, \quad x = L(t), \end{aligned} \quad (2)$$

где $E_{1,v} = E_{1,v}(0, t)$, $E_{2,v} = E_{2,v}(L(t), t)$ — плотность потоков результирующего излучения на границе 1 ($x = 0$) и 2 ($x = L_0, L(t)$) в момент времени $t \geq 0$ (см. рис. 1), $|E_{i,v}| = E_{i,v}(x - \delta) - E_{i,v}(x + \delta)$, $i = 1, 2$ — перепад значений плотностей потоков результирующего излучения на границах сопряжения слой-среда, $x \pm \delta$ — координата, бесконечно близко прилегающая к координате x ; h_i — коэффициенты теплообмена с внешней средой, T_i — температура окружающей плоский слой среды, γ — скрытая теплота плавления, ρ — плотность при температуре фазового перехода T_f ; индексы $i = 1, 2$ соответствуют левой и правой средам (границам слоя-образца). Радиационная составляющая $|E_{i,v}|$ граничных условий (2) учитывает процессы отражения и пропускания излучения границами образца и записывается в форме, принимающей во внимание только поглощение и излучение границ [12]:

$$\begin{aligned} E_{1,v} &= A_1 \left[E_v^-(x + \delta) + \sigma_0 T_1^4 \right] - \varepsilon_1 (1 + n^2) \sigma_0 T^4(x, t), \quad x = 0, \\ E_{2,v} &= A_2 \left[E_v^+(x - \delta) + E^* \right] - \varepsilon_2 (1 + n^2) \sigma_0 T^4(x, t), \quad x = L(t). \end{aligned} \quad (3)$$

Предполагается, что наличие фазового перехода на границе 2 не сказывается на оптических свойствах, а потому ε_i , A_i , R_i и D_i полагаем неизменными, а во втором уравнении системы (3) следует иметь в виду, что $T(x) \equiv T_f$, $x = L(t)$, $t > 0$. При рассмотрении первого этапа радиационно-кондуктивного нагрева образца во втором уравнении граничных условий (2) $T_f \equiv T(x)$, $x = L_0$, а правая часть этого уравнения приравнивается к нулю. Система уравнений (1)–(3) дополняется начальным условием

$$T(x, 0) = f(x), \quad L(0) = L_0. \quad (4)$$

Таблица
Спектральные зависимости коэффициента поглощения

j	$\nu_j, 10^{14}, \text{Гц}$	$A_j, \text{мкм}$	$A_j, \text{М}^{-1}$
1	0–0,6	∞ –5	500
2	0,6–1,2	5–2,5	160
3	1,2–2,3	2,5–1,3	5
4	2,3–3,84	1,3–0,78	0,1
5	3,84–6	0,78–0,5	0,2

Для решения радиационной части задачи использован трехслойный метод средних потоков с пятью полосами частотной области. Частотная область, представленная в таблице, учитывает высокую поглощательную способность среды в инфракрасной области, оставаясь прозрачной в видимой области [4].

Радиационные граничные условия, записываемые относительно полусферических плотностей потоков эффективного излучения применительно к трехслойным селективно-поглощающим средам, записываются через коэффициенты отражения [4] следующим образом.

На внешних границах системы задаются падающие плотности потоков при $n_0 = 1$:

$$\begin{aligned} x = 0 - \infty: \quad E_{j,I}^+ &= B_\nu(T_1), \\ x = L(t) + \infty: \quad E_{j,III}^- &= E^*; \end{aligned} \tag{5}$$

на промежуточном слое при $n > n_0$

$$\begin{aligned} E_{j,II}^+ &= (1 - R_1) \frac{n_0^2}{n^2} E_j^- + R_1 E_j^+, \quad x = 0, \\ E_{j,II}^- &= (1 - R_2) \frac{n_0^2}{n^2} E_j^+ + R_2 E_j^-, \quad x = L(t), \end{aligned} \tag{6}$$

где j — номер спектральной полосы ν_j , B_ν — функция Планка излучения абсолютно черного тела; римскими цифрами в индексах обозначены номера слоев: I и III — внешние слои, II — промежуточный слой, который рассматривается в настоящей работе (в дальнейшем индекс II опустим). Здесь принято во внимание, что на промежуточном слое коэффициент отражения обусловлен полным внутренним отражением, которое получается из соотношения

$$(1 - R'_i) n^2 = (1 - R_i) n_0^2. \tag{7}$$

Плотность результирующего интегрального по спектру потока излучения находится из соотношения

$$E_\nu = \sum_{j=1}^5 (E_j^+ - E_j^-).$$

Преобразование краевой задачи (1)–(4) к безразмерному виду связано с привлечением лагранжевых преобразований $\xi = x/L(t)$ [6]. Такая переменная позволяет фиксировать координату фронта фазового перехода в границах $0 \leq \xi \leq 1$, при этом сам фронт становится плоскопараллельным (метод выпрямления фронтов). Система уравнений (1), (2) и (4), с учетом (3) преобразуется к краевой задаче в следующем виде:

$$\frac{\partial \theta(\xi, \eta)}{\partial \eta} = \xi \frac{\dot{s}}{s} \frac{\partial \theta(\xi, \eta)}{\partial \xi} + \frac{1}{s^2} \frac{\partial^2 \theta(\xi, \eta)}{\partial \xi^2} - \frac{1}{sN} \frac{\partial \Phi_\nu(\xi, \eta)}{\partial \xi}, \quad 0 \leq \xi \leq 1, \tag{8}$$

$$-\frac{\partial \theta(0, \eta)}{\partial \xi} + s \text{Bi}_1 (\theta(0, \eta) - \theta_1) + \frac{s}{N} \left[A_1 \left(\Phi_v^- + \frac{\theta_1^4}{4} \right) - \varepsilon_1 (1 + n^2) \frac{\theta^4(0, \eta)}{4} \right] = 0, \quad (9)$$

$$\frac{\partial \theta(1, \eta)}{\partial \xi} + s \text{Bi}_2 (\theta_2 - \theta(1, \eta)) - \frac{s}{N} \left[A_2 (\Phi_v^+ + F^*) - \varepsilon_2 (1 + n^2) \frac{\theta^4(1, \eta)}{4} \right] = \frac{s \dot{s}}{\text{St}}, \quad (10)$$

$$\theta(\xi, 0) = f(\xi), \quad s(0) = 1, \quad \theta(1, \eta) = 1, \quad (11)$$

здесь $\theta = T/T_f$, $\xi = x/L(t)$, $s(\eta) = L(t)/L_0$, $\eta = \lambda t / (\rho c_p L_0^2)$ — безразмерное время, $N = \lambda / (4\sigma_0 T_f^3 L_0)$ — радиационно-кондуктивный параметр, $\Phi_v^\pm(\xi, \eta) = E_v^\pm(x, t) / (4\sigma_0 T_f^4)$ — безразмерная плотность потока излучения, $F^* = E^* / (4\sigma_0 T_f^4)$ — безразмерная плотность потока излучения, падающего на пластину с правой стороны, $\text{Bi}_i = h_i L_0 / \lambda$ — число Био, $\dot{s} = ds/d\eta$ — скорость распространения фронта плавления, $\text{St} = T_f c_p / \gamma$ — число Стефана, σ_0 — постоянная Стефана–Больцмана. Входящие в уравнения (8)–(10) безразмерные плотности потоков излучения Φ^\pm , $\Phi_v = \sum_j (\Phi_j^+ - \Phi_j^-)$ определяются из решения уравнения переноса излучения в плоском слое излучающей и поглощающей среды с известным распределением температур по слою.

Широкие возможности в смысле простоты решения и эффективности получения результатов представляет модифицированный метод средних потоков [4]. В рамках этого метода уравнение переноса излучения сводится к системе двух нелинейных дифференциальных уравнений для плоского слоя полупрозрачной среды. Дифференциальный аналог уравнения переноса для полусферических потоков Φ_j^\pm записывается в виде:

$$\begin{aligned} \frac{d}{d\tau_j} (\Phi_j^+(\tau, \eta) - \Phi_j^-(\tau, \eta)) + (m_j^+(\tau) \Phi_j^+(\tau, \eta) - m_j^-(\tau) \Phi_j^-(\tau, \eta)) &= n^2 \Phi_0, \\ \frac{d}{d\tau_j} (m_j^+(\tau) l_j^+(\tau) \Phi_j^+(\tau, \eta) - m_j^-(\tau) l_j^-(\tau) \Phi_j^-(\tau, \eta)) + (\Phi_j^+(\tau, \eta) - \Phi_j^-(\tau, \eta)) &= 0. \end{aligned} \quad (12)$$

Граничные условия для системы уравнений (11) в безразмерном виде получаются из условий (5) и (6) в виде:

$$\begin{aligned} \tau_{j, \text{I}} = 0 - \infty: \quad \Phi_{j, \text{I}}^+ &= \Phi_0(\theta_1), \\ \tau_{j, \text{III}} = L(t) + \infty: \quad \Phi_{j, \text{III}}^- &= F^*, \end{aligned} \quad (13)$$

$$\begin{aligned} \Phi_{j, \text{II}}^+ &= (1 - R_1) \frac{n_0^2}{n^2} \Phi_j^- + R_1 \Phi_j^+, \quad \tau = 0, \\ \Phi_{j, \text{II}}^- &= (1 - R_2) \frac{n_0^2}{n^2} \Phi_j^+ + R_2 \Phi_j^-, \quad \tau = L(t). \end{aligned} \quad (14)$$

Здесь $\Phi_0 = B_v / (4\sigma T_f^4)$ — безразмерная плотность равновесного излучения, $\tau_j = \alpha_j \cdot x$ — оптическая толщина слоя. Значения коэффициентов m_j^\pm , l_j^\pm определяются из рекуррентного соотношения, полученного с помощью формального решения уравнения переноса излучения [4].

Решения краевой задачи сводится к определению температуры $\theta(\xi, \eta)$ и плотностей потоков результирующего излучения $\Phi_v(\xi, \eta)$ в слое $\Pi G = \{0 \leq \xi \leq 1, 0; 0 \leq \eta \leq \eta_1\}$, представляющего собой плоский слой твердой фазы. Положение фронта фазового перехода $s(\eta)$ меняется от 1 до 0. Краевая задача (8)–(11) решается конечно-разностным методом, нелинейная система неявных разностных уравнений — методом прогонки и итераций. При решении радиационной задачи используются итерации, на каждом шаге которых краевая задача (12)–(14) решается методом матричной факторизации. Быстрая сходимость такого метода решения позволяет получать результаты с высокой степенью точности.

Анализ результатов

В настоящем разделе представлены результаты численного моделирования процессов нагрева образца из слоя полупрозрачного материала с физическими параметрами: $S_0 = 0,1$ м, $T_1 = 300$ К, $T_2 = 900$ К, $T_f = 1000$ К, $E^* = 200$ кВт/м²; теплофизические свойства материала близки к свойствам флюорита и составляют: $\rho = 2000$ кг/м³, $\lambda = 1$ Вт/(м·К), $a = 10^{-6}$ м²/с, скрытая теплота фазового перехода $\gamma = 500$ кДж/кг; оптические параметры образца следующие: показатель преломления $n = 1,5$, коэффициенты отражения $R_{1,2} = 0,1$, спектральные коэффициенты объемного поглощения представлены в таблице.

В ходе численного эксперимента полагалось, что теплоотдача от стенок слоя соответствует условиям при естественной конвекции: $h_{1,2} = 8$ Вт/(м²·К) при $\varepsilon_{1,2} = 0, 0,1$, теплоотдача на левой границе при $\varepsilon_{1,2} = 0,2$ полагалась равной $h_1 = 30$ Вт/(м²·К), при $\varepsilon_{1,2} = 0,3$ она увеличивалась до $h_1 = 8$ Вт/(м²·К), теплоотдача на правой границе (h_2) оставалась без изменения. Перечисленные значения были выбраны с учетом того, что при теплоотдаче $h_1 = 80$ Вт/(м²·К) и высокой плотности потока излучения с увеличением степени черноты левой границы ее температура претерпевает нехарактерные всплески. Указанный всплеск температуры левой границы может быть объяснен сочетанием селективно-поглощающей среды с серой правой границей, совпадающей с фронтом фазового перехода. Серый фронт фазового перехода, удерживаемый при максимальной температуре фазового перехода, проникает через окна прозрачности в спектре поглощения среды и нагревает левую серую границу. При определенных коэффициентах теплоотдачи на границах пластины представляются возможными смена направления результирующего теплового потока и осуществление фазового перехода на левой границе пластины.

Значения степени черноты $\varepsilon_{1,2} = 0,3$ выбраны из расчета, что внутренний коэффициент отражения $R'_{1,2}$, полученный из соотношения (7), равен 0,6, тогда внутренний коэффициент пропускания, с учетом закона Кирхгоффа, принимает значение $D'_{1,2} = 1 - A'_{1,2} - R'_{1,2} = 0,1$. При дальнейшем увеличении $\varepsilon_{1,2} > 0,4$ границы рассматриваемой среды становятся непроницаемыми, а только отражающими и поглощающими излучение.

На рис. 2 представлены температурные поля при различных значениях степеней черноты. При значениях $\varepsilon_{1,2} < 0,2$ температурное поле не реагирует на оптические свойства границ (рис. 2а, 2б). Среда нагревается монотонно, подобно непрозрачному материалу с большим температурным градиентом по слою, что связано с большой поглощательной способностью в инфракрасной области (кривые между линиями 1 и 2). С началом фазового перехода (кривые между линиями 2 и 3) наблюдается перегрев около правой границы, который не превышает 5 % от температуры плавления при положении

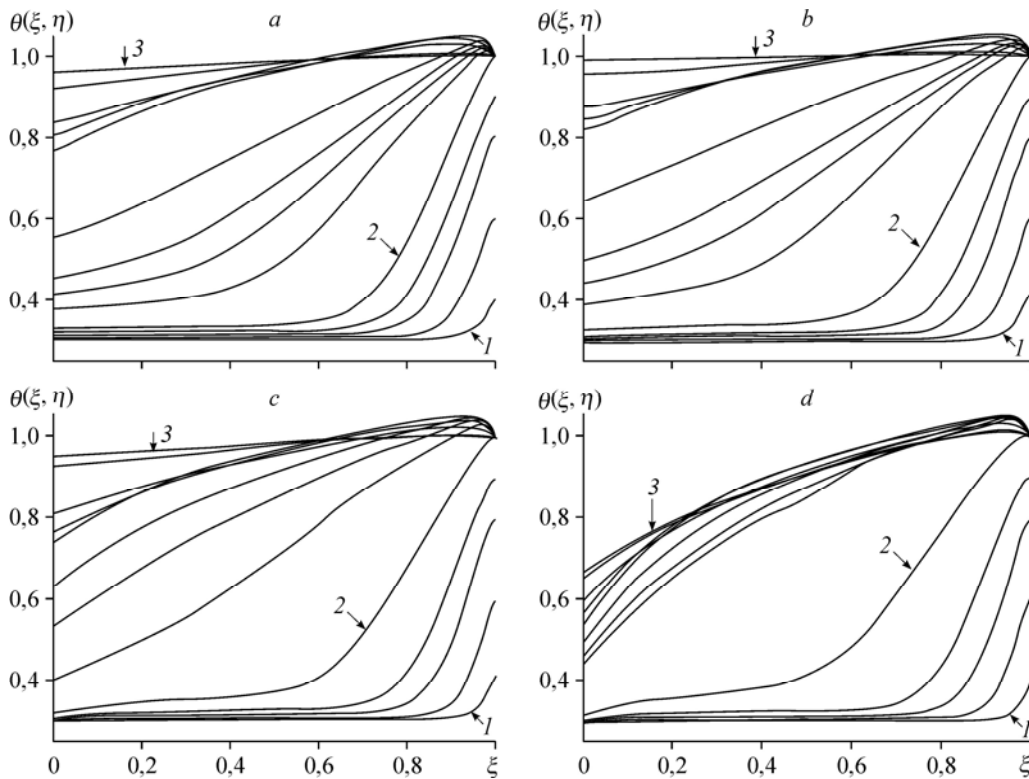


Рис. 2. Температурные поля при разных значениях степени черноты и теплоотдачи от левой «холодной» стенки.

a — $\varepsilon_{1,2} = 0$, $h_1 = 8 \text{ Вт}/(\text{м}^2\text{К})$, b — $\varepsilon_{1,2} = 0,1$, $h_1 = 8 \text{ Вт}/(\text{м}^2\text{К})$, c — $\varepsilon_{1,2} = 0,2$, $h_1 = 30 \text{ Вт}/(\text{м}^2\text{К})$,
 d — $\varepsilon_{1,2} = 0,3$, $h_1 = 80 \text{ Вт}/(\text{м}^2\text{К})$; 1 — начало процесса, 2 — начало плавления, 3 — конец плавления.

фронта в районе $s \approx 0,7$. Перегрев твердой фазы определяется теплообменом при фиксированной температуре фазового перехода, а также независимостью определяющих параметров от температуры. К концу процесса плавления ($s \sim 0,05$) температурный градиент падает, слой становится практически изотермическим. С повышением степени черноты границ $\varepsilon_{1,2} > 0,2$ температурное поле около правой границы не меняется (рис. 2c и 2d), что является показателем фиксированной температуры плавления и высокого коэффициента объемного поглощения излучения. Температурное поле около левой границы существенно зависит от теплоотдачи, которая не дает поверхности перегреваться.

На рис. 3 приведены графики полей результирующих радиационных потоков. При степени черноты $\varepsilon_{1,2} < 0,2$ монотонно убывающие кривые на этапе нагрева (кривые между линиями 1 и 2) сменяются на немонотонные в процессе фазового перехода (рис. 3a и 3b). С увеличением $\varepsilon_{1,2} \geq 0,2$ плотность потока излучения на левой границе повышается, при $\varepsilon_{1,2} = 0,3$ кривые все время характеризуются наличием высокого градиента потока излучения по слою (рис 3c, 3d), что связано с особенностями температурного распределения при данных параметрах.

Рост температуры левой границы показан на рис. 4a. При значениях $\varepsilon_{1,2} < 0,2$ динамику роста можно характеризовать тремя этапами: до определенного уровня наблюдается быстрый рост температуры, затем — плавный рост, и примерно к концу процесса имеет место новый всплеск температуры, практически достигающий температуры фазового перехода. Рост температуры с увеличением $\varepsilon_{1,2} \geq 0,2$ сдерживается более сильной теплоотдачей, что отражается в затягивании процесса плавления и приводит к тому, что слой

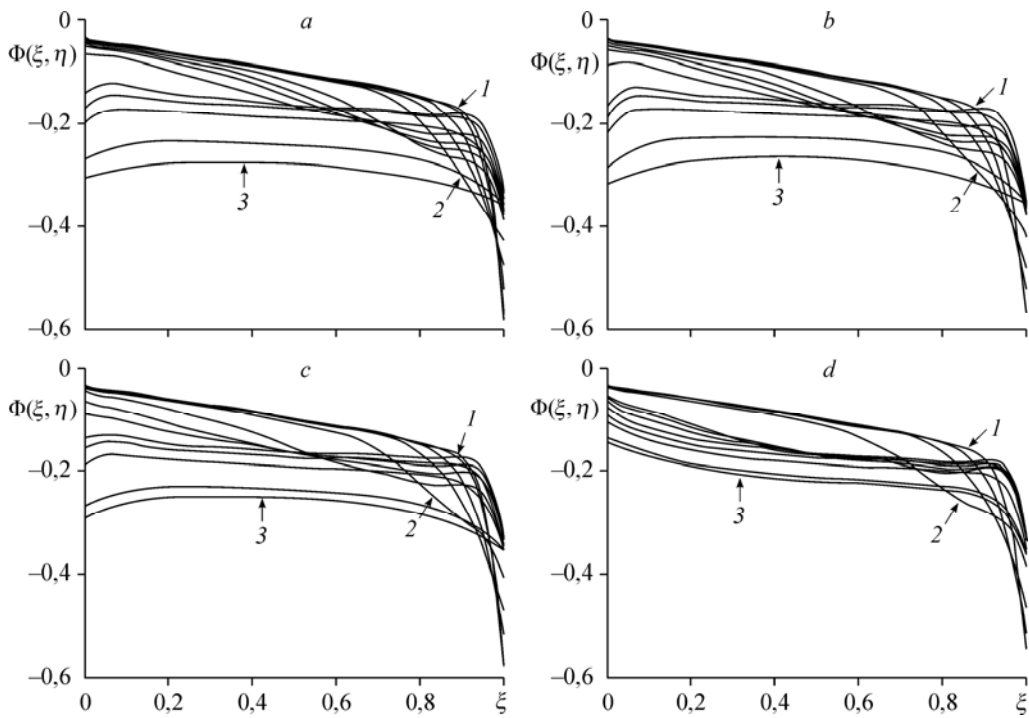


Рис. 3. Поля результирующих радиационных потоков при разных значениях степени черноты и теплоотдачи с левой “холодной” стенки.

$a - \varepsilon_{1,2} = 0, h_1 = 8 \text{ Вт}/(\text{м}^2\text{К}), b - \varepsilon_{1,2} = 0,1, h_1 = 8 \text{ Вт}/(\text{м}^2\text{К}), c - \varepsilon_{1,2} = 0,2, h_1 = 30 \text{ Вт}/(\text{м}^2\text{К}),$
 $d - \varepsilon_{1,2} = 0,3, h_1 = 80 \text{ Вт}/(\text{м}^2\text{К}); 1 - \text{начало процесса}, 2 - \text{начало плавления}, 3 - \text{конец плавления}.$

проплавляется не до конца: плавление прекращается, достигнув определенной толщины (рис. 4b).

На рис. 5 показаны сравнения модели селективно-поглощающей среды с моделью серой среды при $\varepsilon_{1,2} = 0,1$. Поглощательная способность для серой среды подобрана путем численного эксперимента и принята равной $\alpha = 40 \text{ м}^{-1}$. Температурное поле серой среды (рис. 5a) на этапе нагрева (штриховые линии 1 и 2) заметно отличается в объеме

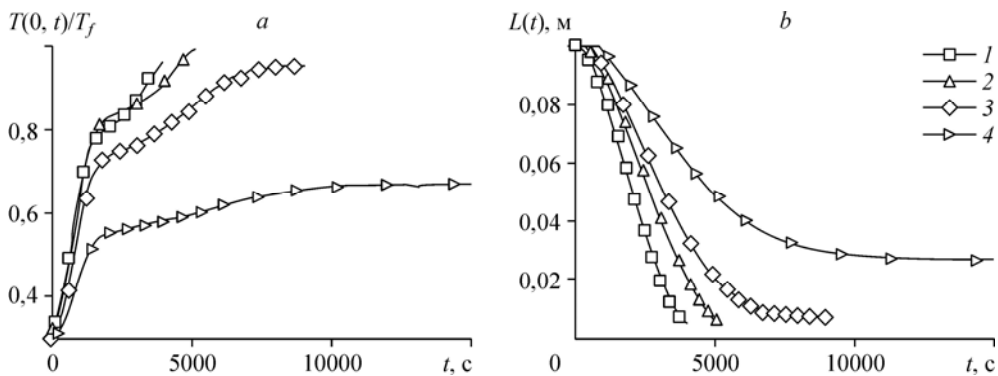


Рис. 4. Рост температуры левой фиксированной границы (a) и сокращение толщины плоского слоя (b) со временем при разных значениях степени черноты и теплоотдачи на левой границе.

$1 - \varepsilon_{1,2} = 0, h_1 = 8 \text{ Вт}/(\text{м}^2\text{К}), 2 - \varepsilon_{1,2} = 0,1, h_1 = 8 \text{ Вт}/(\text{м}^2\text{К}),$
 $3 - \varepsilon_{1,2} = 0,2, h_1 = 30 \text{ Вт}/(\text{м}^2\text{К}), 4 - \varepsilon_{1,2} = 0,3, h_1 = 80 \text{ Вт}/(\text{м}^2\text{К}).$

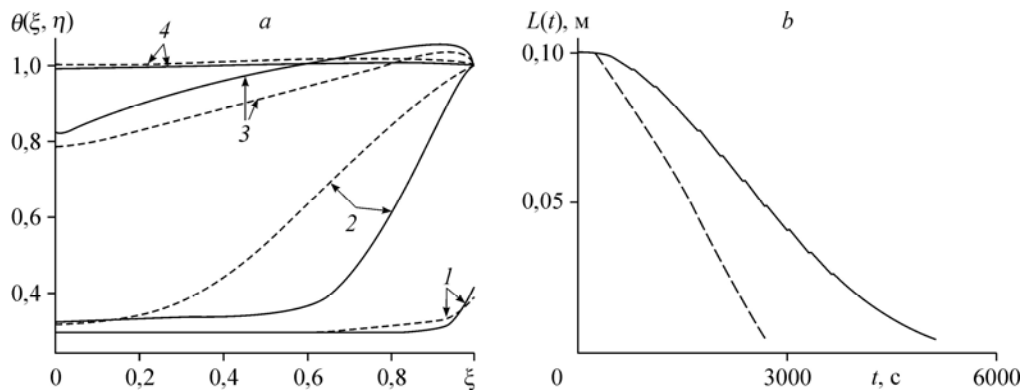


Рис. 5. Сравнение моделей selectively поглощающей среды (сплошные линии) и серой среды (штриховые линии). Температурное поле (а) и развитие фронта плавления (б).
 $\theta(1, \eta) = 0,4$ (1), 1 (2), $s(\eta) = 0,3$ (3), 0,05 (4).

среды, но при этом температуры на границах совпадают. В модели серой среды рост температуры в объеме выше, чем в селективной модели, и объясняется разницей в оптических толщинах сред. На этапе фазового перехода (кривая 3) рост температуры в модели с селективным излучением выше, чем в модели серой среды, и практически равен ему к концу фазового перехода. Сам процесс плавления в серой среде протекает примерно в два раза быстрее (рис. 5б).

Выводы

Впервые рассмотрена постановка однофазной задачи Стефана с селективно-поглощающим излучением материалом. Для решения радиационной части использован метод средних потоков для трехслойной системы. Оптические свойства при этом принимались искусственно комбинированными: исследуемый слой среды (твердая фаза) принималась селективной, а ее границы — серыми. Подобные искусственно подобранные условия оптических свойств среды усложняют решение задачи. В будущем, однако, представляется возможным осуществить моделирование теплового состояния со стороны толщи воды под воздействием солнечного облучения.

Учет селективных условий поглощения излучения, падающего на правую границу, принципиально важен в однофазных задачах Стефана, моделирующих процессы плавления полупрозрачных кристаллов. В этом случае, в условиях сопряжения Стефана учитывается поглощение излучения в полосах, обладающих высокой оптической толщиной. Сравнение с серой средой свидетельствует о важности учета селективного характера поглощения излучения средой при сопоставлении численных результатов с экспериментом.

Список литературы

1. Diaz L.A., Viskanta R. Experiments and analysis on the melting of a semitransparent material by radiation // Wärme und Stoffübertragung. 1986. Vol. 20, No. 4. P. 311–321.
2. Воробьев А.Ю., Петров В.А., Титов В.Е. Быстрый нагрев и плавление оксида алюминия при воздействии концентрированного лазерного излучения // Теплофизика высоких температур. 2007. Т. 45, № 4. С. 533–542.
3. Воробьев А.Ю., Петров В.А., Титов В.Е., Фортгов В.Е. Образование двухфазной зоны при быстрой кристаллизации тугоплавких оксидов // Докл. АН. 2001. Т. 380, № 3. С. 342–345
4. Рубцов Н.А., Савинова Н.А., Тимофеев А.М. Комбинированный теплообмен в полупрозрачных средах. Новосибирск: Изд-во СО РАН, 2003. 197 с.
5. Рубцов Н.А. Теплообмен излучением в сплошных средах. Новосибирск: Наука, 1984. 278 с.
6. Петров В.А., Марченко Н.В. Перенос энергии в частично прозрачных твердых материалах. М.: Наука, 1985. 304 с.

7. **Le Dez V., Yousefian F., Vaillon R., Lemonnier D., Lallemand M.** Problem de Stefan direct dans un milieu semitransparent gris // J. Phys. III France. 1996. Vol. 6. P. 373–390.
8. **Рубцов Н.А., Саввинова Н.А., Слепцов С.Д.** Численное моделирование однофазной задачи Стефана в слое с прозрачными и полупрозрачными границами // Прикл. мех. и техн. физика. 2006. Т. 47, № 3. С. 84–91.
9. **Слепцов С.Д., Рубцов Н.А.** Решение классической однофазной задачи Стефана в модифицированной постановке для полупрозрачных сред // Прикл. мех. и техн. физика. 2013. Т. 54, № 3. С. 106–113.
10. **Naaktgeboren C.** The zero-phase Stefan problem // Int. J. Heat and Mass Transfer. 2007. Vol. 50. P. 4614–4622.
11. **Meirmanov A.M.** The Stefan problem. Berlin–N.Y.: Walter de Gruyter, 1992. 244 p.
12. **Рубцов Н.А.** К определению граничных условий радиационного теплообмена на плоской поверхности раздела двух сред // Теплофизика и аэромеханика. 2003. Т. 10, № 1. С. 87–102.

*Статья поступила в редакцию 9 февраля 2015 г.,
после доработки — 16 марта 2015 г.*